

纳米结构 Au/Fe₂O₃ 的制备、表征及催化氧化性能

赵建波^{1,2} 符 滕¹ 李 磊¹ 丁维平^{*1}

(¹ 介观化学教育部重点实验室,南京大学化学化工学院,南京 210093)

(² 河南省表界面科学重点实验室,郑州轻工业学院,郑州 450002)

摘要: 分别以纳米和块状氧化铁为载体,通过沉积沉淀法制备了 Au/Nano-Fe₂O₃ 和 Au/Bulk-Fe₂O₃,并对其进行了表征和催化氧化性能测试。结果表明:对于 Au/Nano-Fe₂O₃,5 nm Au 颗粒被尺寸相当的 Nano-Fe₂O₃ 所包覆,形成新颖的类似核壳结构;对于 Au/Bulk-Fe₂O₃,3 nm Au 颗粒高度分散于 Bulk-Fe₂O₃ 的表面。在 1-苯乙醇的氧化反应中,Au/Nano-Fe₂O₃ 显示出比 Au/Bulk-Fe₂O₃ 更好的催化活性。活性的增强主要与小尺寸的 Nano-Fe₂O₃ 以及 Au 和 Nano-Fe₂O₃ 更大的接触界面有关。相比于广泛受到重视的 Au 的尺寸效应来说,对于 Au/Nano-Fe₂O₃ 而言,Fe₂O₃ 尺寸的影响更大。

关键词: 金; 氧化铁; 多相催化; 纳米结构; 氧化

中图分类号: O643 文献标识码: A 文章编号: 1001-4861(2014)07-1489-07

DOI:10.11862/CJIC.2014.247

Synthesis, Characterizations and Catalytic Performance of Nanostructure Au/Fe₂O₃

ZHAO Jian-Bo^{1,2} FU Teng¹ LI Lei¹ DING Wei-Ping^{*1}

(¹Key Lab of Mesoscopic Chemistry, School of Chemistry and Chemical Engineering,
Nanjing University, Nanjing 210093, China)

(²Henan Provincial Key Laboratory of Surface & Interface Science, Zhengzhou University
of Light Industry, Zhengzhou 450002, China)

Abstract: Au/Nano-Fe₂O₃ and Au/Bulk-Fe₂O₃ were prepared by the deposition precipitation method using Nano-Fe₂O₃ and Bulk-Fe₂O₃, respectively, as the support. The materials were characterized and evaluated for the aerobic oxidation of 1-phenylethanol. The results show that the Au/Nano-Fe₂O₃ possesses a novel structure with ~5 nm Au nanoparticles surrounded by the equal-sized nano Fe₂O₃, while ~3 nm Au nanoparticles are highly dispersed on the surface of Bulk-Fe₂O₃ in Au/Bulk-Fe₂O₃. Au/Nano-Fe₂O₃ shows the enhanced activity for the aerobic oxidation of 1-phenylethanol than that of Au/Bulk-Fe₂O₃. The promoted catalytic property is related to the equal-sized nano Fe₂O₃ and more boundaries between Au and Nano-Fe₂O₃. In comparison with Au nanoparticle size effect, which has attracted considerable attention in current literatures, our results indicate that the particle size of the support has significant influence on the activity of Au catalysts.

Key words: gold; iron oxide; heterogeneous catalysis; nanostructures; oxidation

0 引言

长期以来,Au 一直被认为是一种不具有催化

活性的“惰性”贵金属。然而,1987 年,日本大阪国立工业技术研究院的 Haruta 等^[1-3]发现小于 10 nm 的负载型金纳米颗粒可在-73 ℃活化 CO 和 O₂生成

收稿日期:2014-01-28。收修改稿日期:2014-04-18。

国家自然科学基金(No.21273107)和河南省教育厅自然科学基金(No.2010A530013)资助项目。

*通讯联系人。E-mail:Dingwp@nju.edu.cn;会员登记号:S060006176P。

CO_2 ,这彻底改变了人们对于金化学的认识。自此,在化学和材料等研究领域便兴起一股“淘金热”,至今方兴未艾。通常,小尺寸的金颗粒($<10\text{ nm}$)才具有催化活性,同时金纳米的活性还和载体的性质、尺寸,以及金与载体的相互作用等因素密切相关^[4]。比如,Xu 等^[5]发现负载于 $\text{CeO}_2(110)$ 晶面的金纳米颗粒比负载于(111)和(100)的金具有更好的醇类氧化脱氢性能。Corma 等^[6-7]制备了 4 nm 和 16 nm CeO_2 负载的金纳米颗粒,发现前者对 CO 氧化反应的活性比后者高 2 个数量级。4 nm CeO_2 可能更容易还原,其上的金更容易带正电荷,16 nm CeO_2 负载的金主要为金属态,而带正电的金活性更高,这是两种催化剂性能差别的主要原因。

氧化铁是一种重要的金属氧化物和催化活性材料,以其为载体得到的 $\text{Au}/\text{Fe}_2\text{O}_3$ 是研究最早的金催化剂之一,并且在氧化反应和选择加氢等反应中具有很高的活性^[2-11]。随着纳米材料可控合成技术的发展和日趋成熟,可根据需要设计并制备出不同形貌、尺寸及物相组成的 Fe_2O_3 ,进而实现对负载型金纳米催化剂性能的有效调控^[12-13]。Centomo 等^[14]发现 $\text{Au}/\text{Fe}_2\text{O}_3$ 催化剂的活性和选择性随着载体中纳米结构氧化铁含量的增加而增大。 H_2 -TPR 表征显示纳米结构的氧化铁更容易被 H_2 还原,这可能是其性能提高的关键因素。Schüth 等^[15]以纳米尺度的氧化铁为载体,采用溶胶沉积法制备了 $\text{Au}/\text{Fe}_2\text{O}_3$,该催化剂在 CO 氧化反应中具有很高的催化活性,作者认为尺寸大于 1 nm 的 Au 团簇是活性中心,但忽视了氧化铁的尺寸的影响。截至目前,关于 Fe_2O_3 的尺寸对金催化剂的性能的影响仍然非常有限^[16-17]。近期,我们以金溶胶为晶种制备了 $\text{Au}-\text{Fe}_3\text{O}_4$ 复合粒子,负载于 Al_2O_3 后得到 $\text{Au}-\text{FeO}_x/\text{Al}_2\text{O}_3$ 。该催化剂在 1-苯乙醇的氧化反应中具有比 $\text{Au}/\text{Al}_2\text{O}_3$ 和 Au/FeO_x 更高的催化活性,活性增强的主要原因在于 Au 和 FeO_x 之间接触界面的增加以及两者的协同效应^[18]。然而,我们采用的金晶种诱导法存在制备过程繁琐、成本较高和制备量较少等缺点,能否采用简便易行和成本低廉的方法得到 $\text{Au}-\text{Fe}_2\text{O}_3$ 纳米复合催化剂是我们关心的问题。基于上述因素,本工作以纳米氧化铁为载体,通过沉积沉淀法得到了 $\text{Au}/\text{Nano-Fe}_2\text{O}_3$,该催化剂为类似核/壳结构,与 $\text{Au}/\text{Bulk-Fe}_2\text{O}_3$ 的结构完全不同;其在 1-苯乙醇的氧化反应中具有更高的活性,结合催化剂的表征结果,揭示了 $\text{Au}/\text{Nano-Fe}_2\text{O}_3$ 具有较高活性的根源。

1 实验部分

1.1 载体和催化剂的制备

$\text{Nano-Fe}_2\text{O}_3$:参考相关文献制备^[15]。过程如下:8.08 g $\text{Fe}(\text{NO}_3)_3 \cdot 9\text{H}_2\text{O}$ 溶解于 200 mL 去离子水中, $\text{pH}=1.87$, 置于油浴中加热至 80 °C, $\text{pH}=1.13$; 将 0.25 mol·L⁻¹ Na_2CO_3 溶液滴加到上述溶液中, 至 $\text{pH}=8.2$; 继续搅拌 0.5 h, 趁热过滤该溶液, 并用 1 L 去离子水洗涤, 滤饼于 80 °C 烘箱中干燥过夜, 最后 120 °C 下 16 h 即可。

$\text{Au}/\text{Nano-Fe}_2\text{O}_3$ 、 $\text{Au}/\text{Bulk-Fe}_2\text{O}_3$ 和 Au/TiO_2 :采用沉积沉淀法制备^[19]。1 g Fe_2O_3 加入 80 mL 水中, 室温下搅拌 2 h; 加入 3 mL 0.024 mol·L⁻¹ HAuCl_4 溶液, 继续搅拌 2 h; 再加入 0.45 g 尿素, 于油浴中加热至 80 °C 并搅拌 16 h; 离心、洗涤后, 沉淀物在 60 °C 下真空干燥后, 120 °C 下 H_2 还原 3.0 h。

$\text{Au}/\text{Fe}_2\text{O}_3(\text{CP})$:采用共沉淀法制备^[8,20]。5.24 g $\text{Fe}(\text{NO}_3)_3 \cdot 9\text{H}_2\text{O}$ 和 2.0 mL 0.024 mol·L⁻¹ HAuCl_4 溶液混合, 再加入 16 mL 去离子水, 搅拌 10 min; 将 0.5 mol·L⁻¹ Na_2CO_3 水溶液逐滴加入上述溶液中, 直至 $\text{pH}=8.2$, 并在室温下搅拌 2 h; 离心、洗涤后, 所得沉淀物 80 °C 干燥过夜, 最后空气中 120 °C 焙烧 16 h, 相应的催化剂记为 $\text{Au}/\text{Fe}_2\text{O}_3(\text{CP})$ 。

1.2 催化剂的表征

样品的比表面积在 Micromeritics ASAP-2020 型比表面和孔径测定仪上进行。约 0.1 g 样品在一定温度下活化,并抽真空至 0.6 Pa,然后在液氮温度(77 K)下进行比表面积测试。

X 射线粉末衍射(XRD):载体和催化剂的物相在日本岛津公司 XRD-6000 上进行测量, $\text{Cu K}\alpha(\lambda=0.15418\text{ nm})$, 发射电压 40 kV, 电流 30 mA。

程序升温还原(H_2 -TPR):将 250~420 μm (40~60) 目的待测样品放置于石英管中, 在 60 $\text{mL} \cdot \text{min}^{-1}$ Ar 下, 以 10 $^{\circ}\text{C} \cdot \text{min}^{-1}$ 升温至 150 °C 并保持 2 h, 然后冷却至 30 °C。切换为 5% H_2/N_2 , 以 10 $^{\circ}\text{C} \cdot \text{min}^{-1}$ 升温至 600 °C。

电感耦合等离子体原子发射光谱(ICP-AES):Au 的含量在 PE Optima 5300DV 上测试。称取适量样品经王水溶解后,定容到一定的体积后测试。

高分辨透射电镜(HRTEM):样品的高分辨电镜图片在 JEOL JEM-2010 测试, 工作电压为 200 kV。取适量样品放于乙醇(或水)中超声处理 5 min, 然后提拉挂网。待溶剂蒸干后, 将样品送入分析腔中测量。

X射线光电子能谱(XPS):样品的XPS谱图在ULVAC-PHI 5000 Versa Probe上测试。真空度<10⁻⁶Pa,单色化Al K α ,所有元素的电子结合能以污染碳C1s=284.6 eV为参照。

1.3 催化剂的性能评价

1-苯乙醇1 mmol,二甲苯10 mL,催化剂0.19 g(0.0125 mmol Au)加入25 mL三颈瓶中。100 ℃下,鼓泡通入20 mL·min⁻¹ O₂,开启磁力搅拌并计时,间隔一段时间取样,在GC-2014上确定产物的组成及各组分含量。

2 结果与讨论

2.1 氮气吸附脱附等温线

Nano-Fe₂O₃和Au/Nano-Fe₂O₃的氮气吸附脱附曲线如图1所示。由图可知,在Nano-Fe₂O₃上沉积Au后,所得到的催化剂比表面积明显下降,由206 m²·g⁻¹降至110 m²·g⁻¹;但从比表面积判断,Au/Nano-Fe₂O₃中的Fe₂O₃仍处于纳米尺度。与之对应,Bulk-Fe₂O₃和Au/Bulk-Fe₂O₃的比表面积分别为5和3 m²·g⁻¹。

2.2 X射线粉末衍射(XRD)

载体对金催化剂的性能影响很大。各样品的XRD如图2所示。由图2a可知,块体Fe₂O₃主要以 α 相为主,可能还有极少量的 γ 相。以其为载体,得到的Au/Bulk-Fe₂O₃的特征衍射峰没有任何变化,说明金的引入并未改变其结构,同时也说明金的负载

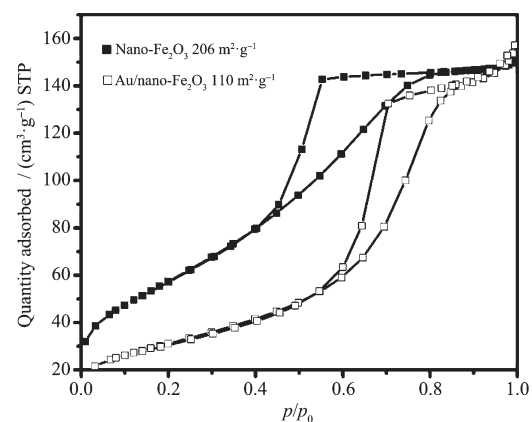
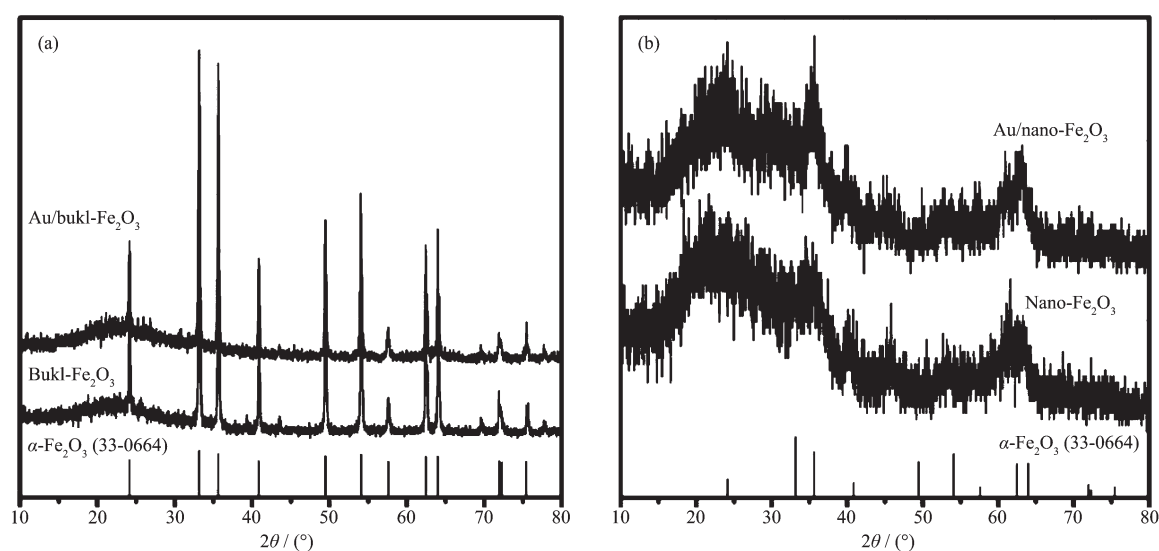


图1 Nano-Fe₂O₃和Au/Nano-Fe₂O₃的氮气吸附脱附等温线

Fig.1 N₂ absorption desorption isotherms of Nano-Fe₂O₃ and Au/Nano-Fe₂O₃

量很低。我们的FeO_x是在碱性环境中得到的,结合相关文献的结果^[15,21-23],初步判定FeO_x主要含 α -Fe₂O₃,可能还有少量的FeO(OH)。同时由图2b看出,我们制备的Nano-Fe₂O₃与 α -Fe₂O₃的标准谱图(PDF 33-0664)也较吻合,这也验证了上面的判定结果。但是,Nano-Fe₂O₃的特征峰很弱,远不如块体Fe₂O₃尖锐,这说明Nano-Fe₂O₃的结晶度较差,并且粒径也较小,这和其比表面积较大也相一致。Au/Nano-Fe₂O₃特征峰的强度有所增加,结合其比表面积已减小,说明负载金的过程中Nano-Fe₂O₃的粒径有所增加。



(a) Bulk-Fe₂O₃ and Au/Bulk-Fe₂O₃; (b) Nano-Fe₂O₃ and Au/Nano-Fe₂O₃

图2 样品的XRD图
Fig.2 XRD patterns of samples

2.3 程序升温还原(H₂-TPR)

为了了解各样品的氧化还原性质,我们进行了H₂-TPR测试,结果如图3所示。由图3a可知,无论Bulk-Fe₂O₃还是Au/Bulk-Fe₂O₃的H₂-TPR都有两组峰,分别在400 °C和660 °C左右,在小于400 °C处还各有一肩峰。根据相关文献,第一个峰温度归属于Fe₂O₃到Fe₃O₄的还原过程^[11,15,23-24],后者则和Fe₃O₄还原至FeO的过程有关^[19,25-26]。Au沉积在Bulk-Fe₂O₃上后,400 °C位置的还原峰向低温方向移动了19 °C,说明Au的引入提高了Bulk-Fe₂O₃表面晶格氧的活性,这与以前的文献结果也一致^[11,26-27]。在图3b中,Nano-Fe₂O₃的还原峰有3个:286 °C、352 °C

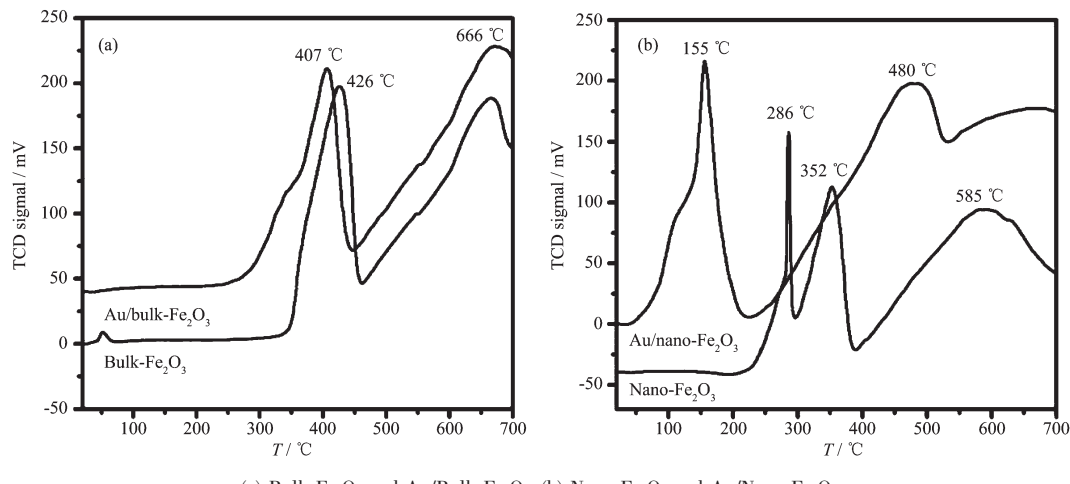


图3 样品的H₂-TPR图

Fig.3 H₂-TPR profiles of samples

2.4 X射线光电子能谱(XPS)

为了确定载体表面Au的分布及化学状态,我们进行了XPS测试,结果如图4和表1。Au/Bulk-Fe₂O₃中Au4f_{7/2}的电子结合能约在83.9 eV,接近Au⁰的电子结合能84 eV^[30-31],表明该催化剂中Au以金属态存在。结合催化剂的XPS和ICP测试结果,我们推测Au/Bulk-Fe₂O₃中Au高度分散于载体的表面,因此其信号很强。遗憾的是,在相近金含量的Au/Nano-Fe₂O₃中,未检测到Au的信号。Ar离子溅射72 s后,仍未出现Au的信号,这说明载体的表面没有金颗粒存在,或者Au/Nano-Fe₂O₃中Au的体相含量(1.5 wt%)偏低,以致其表面浓度低于XPS的检测限。为了验证后一种可能,我们又采用共沉淀法制备了金含量相近且表征结果已经比较清楚的Au/Fe₂O₃(CP),进行XPS测试。如图4和表1中所示,检测出了金的信号,这就排除了后一种假设。因

和585 °C。根据文献报道^[11,24,27-29],第一个还原峰可能跟羟基氧化铁的还原有关,这也与XRD的表征结果相一致。与Bulk-Fe₂O₃类似,352 °C和585 °C位置的还原峰分别对应于Fe₂O₃到Fe₃O₄,以及Fe₃O₄至FeO的还原过程^[24],Nano-Fe₂O₃的还原温度的降低可能与其较大的比表面积有关^[11,21]。Au沉积到Nano-Fe₂O₃上后,对应于Fe₂O₃到Fe₃O₄过程的还原温度降低了近200 °C,并且可能和羟基氧化铁的还原过程叠加在一起;Fe₃O₄至FeO的还原温度也降低了约100 °C。上述结果表明,Au沉积到Nano-Fe₂O₃后,极大提高了Nano-Fe₂O₃表面晶格氧的活性,这将对催化反应非常有利。

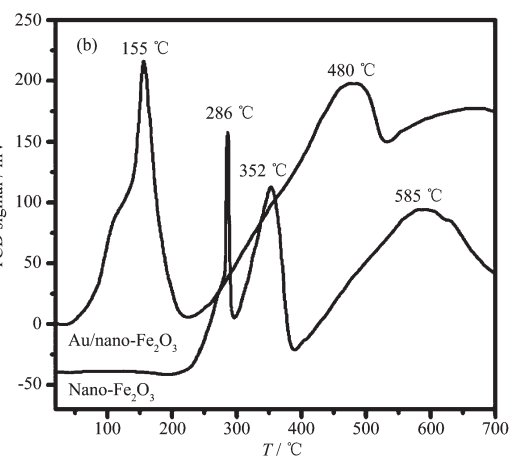


图4 负载金催化剂的Au4f XPS

Fig.4 Au4f XPS of Au catalysts

此,我们制备的Au/Nano-Fe₂O₃的结构可能是Au在中间,周围被Nano-Fe₂O₃包覆,即类似Au Core-Nano-Fe₂O₃ Shell,因此检测不到催化剂表面的Au。

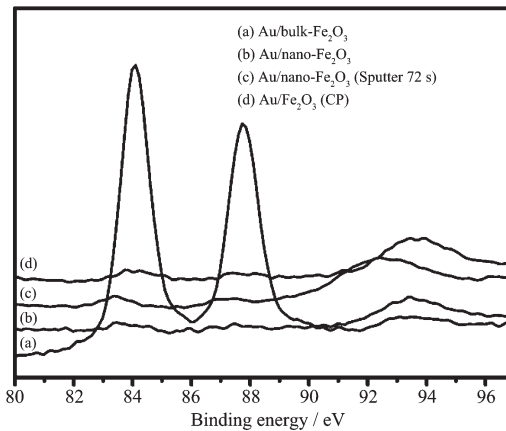


表 1 催化剂中金的含量

Table 1 Au content of nanocatalysts

Catalysts	ICP / %	XPS / %
Au/Bulk-Fe ₂ O ₃	1.4	2.01
Au/Nano-Fe ₂ O ₃	1.5	No detected
Au/Fe ₂ O ₃ (CP)	1.3	0.06

2.5 高分辨透射电镜(HRTEM)

为了确定 Au、Nano-Fe₂O₃ 的尺寸以及进一步确认 Au/Nano-Fe₂O₃ 的结构，我们又进行了高分辨透射电镜测试，结果如图 5 所示。在 Au/Bulk-Fe₂O₃ 中，

Au 的平均粒径为 3 nm，并且可以观测到 Au 的晶格条纹，其晶面间距为 0.233 nm，对应于 Au(111)晶面^[32-33]，并且可以清晰地看到 Au 高度分散于 Bulk-Fe₂O₃ 的表面。在 Au/Nano-Fe₂O₃ 中，Au 的平均粒径为 5 nm，Nano-Fe₂O₃ 的粒径为 5~10 nm，Au 颗粒被包围在 Nano-Fe₂O₃ 中间，即类似核壳结构。结合前面的 XPS 表征结果，我们可以确定 Au/Nano-Fe₂O₃ 为类似核壳结构，其结构模型如图 5c 中内插图所示。形成该纳米结构的原因正在研究中。

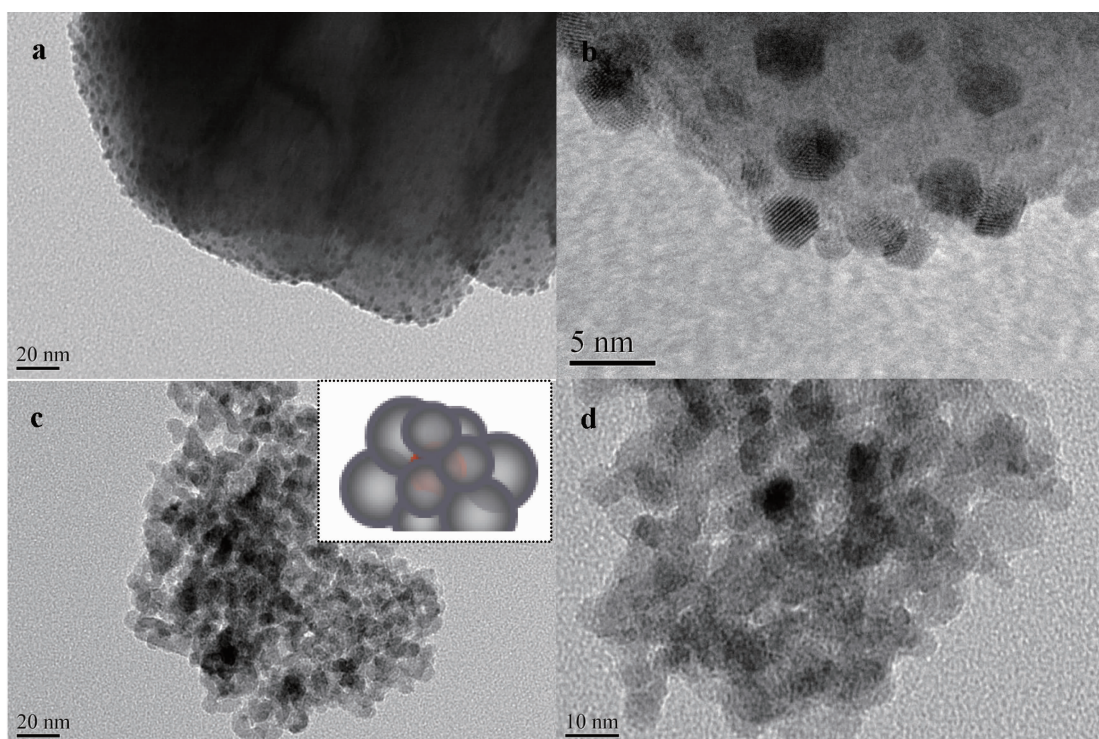
(a, b)Au/bulk Fe₂O₃; (c, d)Au/Nano-Fe₂O₃, the inset is the physical model, red and grey colors represent Au and Nano-Fe₂O₃, respectively

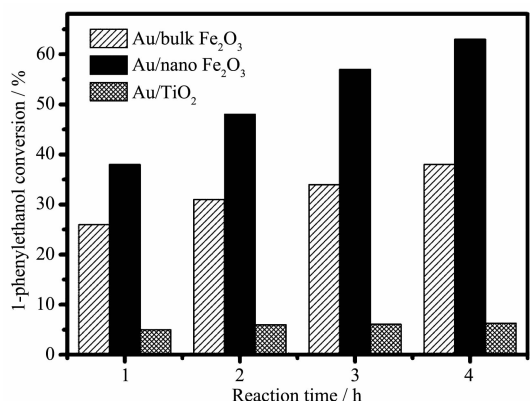
图 5 负载金催化剂的 HRTEM

Fig.5 Representative HRTEM images of supported gold catalysts

2.6 催化性能

以 1-苯乙醇氧化为苯乙酮为探针反应考察上述催化剂的催化性能，结果如图 6 所示。由图可知，分别以 Au/Bulk-Fe₂O₃ 和 Au/Nano-Fe₂O₃ 为催化剂，反应 1 h 时，1-苯乙醇的转化率分别为 25% 和 38%；反应 4 h 时，1-苯乙醇的转化率依次增加到 38% 和 63%，也就是说 Au/Nano-Fe₂O₃ 比 Au/Bulk-Fe₂O₃ 的活性更高。以经典的 Au/TiO₂ 作催化剂，1-苯乙醇的转化率只有 6% 左右，Au/Nano-Fe₂O₃ 也显示出比 Au/TiO₂ 更好的活性。对于负载金催化剂而言，关于金的粒径与催化活性的关系，目前通行的认识是在小于 5 nm 时，其具有较高的催化活性，且尺寸越小

活性可能越高。本文涉及的 Au/Bulk-Fe₂O₃ 和 Au/Nano-Fe₂O₃ 中金的粒径分别为 3 nm 和 5 nm，相应金的分散度为 39% 和 23% (将金纳米颗粒视为球形，以其粒径计算)^[34-35]，然而前者的活性不如后者，说明除了金的粒径外，还有其它因素在起作用，根据文献以及本文的结果，载体的种类、尺寸以及金和载体的界面对其性能影响也很大。有文献报道^[36]，与 SiO₂ 等惰性载体相比，Fe₂O₃、CoO_x、NiO_x 等所谓“活泼”载体负载的金催化剂粒径效应不那么明显，这些载体可以按照 Mars-Van Krevelen 反应机理经历氧化还原的循环而提供具有反应活性的氧物种参与反应^[37]，因此较大尺寸的金颗粒仍可观察到较



Reaction conditions: 1-phenylethanol 1 mmol, catalysts 0.19 g (0.0125 mmol Au), o-xylene 10 mL, 100 °C, 20 mL·min⁻¹ O₂

图6 负载金催化剂的催化氧化性能

Fig.6 Catalytic performances of supported gold catalysts
好的催化活性。结合前面的 H₂-TPR 表征结果,Au/
Nano-Fe₂O₃ 催化剂中 Nano-Fe₂O₃ 的晶格氧活泼性更

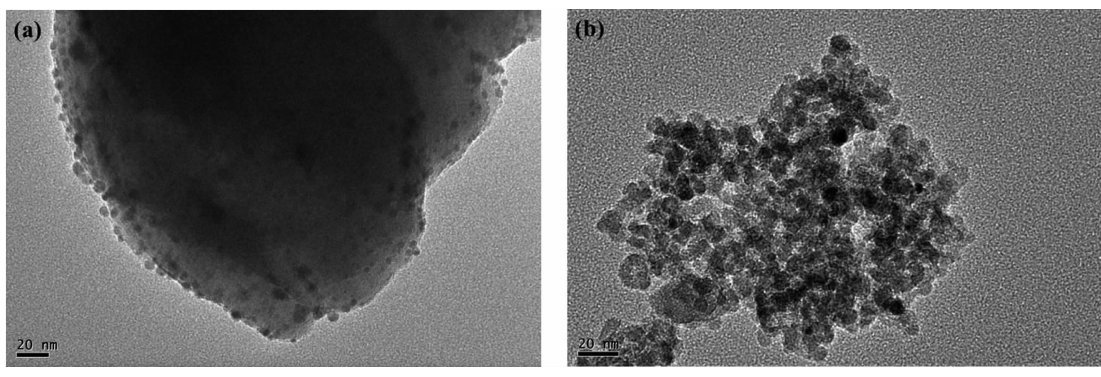


图7 反应后负载金催化剂的HRTEM

Fig.7 Representative HRTEM images of supported gold catalysts after reaction

3 结 论

本文通过简便易行的方法制备了 Au/Nano-Fe₂O₃, 并对其进行结构表征和催化性能测试, 得到的结论如下:

(1) Au/Nano-Fe₂O₃ 形成新颖的类似核壳结构即 Au 颗粒被 Nano-Fe₂O₃ 所包覆, 而 Au/Bulk-Fe₂O₃ 的结构则不同, Au 颗粒高度分散于 Bulk-Fe₂O₃ 的表面;

(2) 在 1-苯乙醇的氧化反应中, Au/Nano-Fe₂O₃ 显示出比 Au/Bulk-Fe₂O₃ 更好的催化活性。活性的增强主要与小尺寸的 Nano-Fe₂O₃ 以及 Au 和 Nano-Fe₂O₃ 更大的接触界面有关。

(3) 就 Au/Nano-Fe₂O₃ 而言, 相比金的尺寸, 载体的尺寸的影响更大。

强,这是该催化体系活性高的一个原因。有很多证据表明催化反应多发生在金-氧化物的界面处,因此接触界面的大小对反应的影响极大^[18,38-40]。本研究所制备的 Au/Nano-Fe₂O₃, 金颗粒被氧化铁颗粒四周包裹着, 这使得 Au 与 Nano-Fe₂O₃ 有更大的接触界面^[17], 同时, 金周围的氧化铁并非致密结构, 反应分子可以通过颗粒之间的间隙而接触到反应界面, 从而获得高的催化性能, 这也和我们前期阐明的金-氧化铁半包裹结构的研究结果一致^[18]。反应后 Au/Bulk-Fe₂O₃ 和 Au/Nano-Fe₂O₃ 催化剂的 HRTEM 如图 7 所示。可以看出, 反应后两者的形貌基本不变, 前者中 Au 的粒径略有增加, 由原来的 3 nm 增加至 4 nm, 后者中 Au 的粒径基本保持不变。由此可见, 壳层 nano Fe₂O₃ 结构一定程度上提高了 Au 纳米颗粒的热稳定性。

参考文献:

- [1] Haruta M, Kobayashi T, Sano H, et al. *Chem. Lett.*, **1986**, 2: 405-408
- [2] Haruta M, Yamada N, Kobayashi T, et al. *J. Catal.*, **1989**, 115:301-309
- [3] Haruta M, Tsubota S, Kobayashi T, et al. *J. Catal.*, **1993**, 144:175-192
- [4] Bond G C, Thompson D T. *Catal. Rev. Sci. Eng.*, **1999**, 41: 319-388
- [5] Wang M, Wang F, Ma J, et al. *Chem. Commun.*, **2014**, 50: 292-294
- [6] Carrettin S, Concepcion P, Corma A, et al. *Angew. Chem. Int. Ed.*, **2004**, 43:2538-2540
- [7] Guzman J, Carrettin S, Corma A. *J. Am. Chem. Soc.*, **2005**, 127:3286-3287

- [8] Herzing A A, Kiely C J, Carley A F, et al. *Science*, **2008**, **321**:1331-1335
- [9] Li L, Wang A, Qiao B, et al. *J. Catal.*, **2013**, **299**:90-100
- [10] Zhu Y, Tian L, Jiang Z, et al. *J. Catal.*, **2011**, **281**:106-118
- [11] Milone C, Ingoglia R, Schipilliti L, et al. *J. Catal.*, **2005**, **236**:80-90
- [12] Zhong Z, Ho J, Teo J, et al. *Chem. Mater.*, **2007**, **19**:4776-4782
- [13] Mou X, Wei X, Li Y, et al. *CrystEngComm*, **2012**, **14**:5107-5120
- [14] Centomo P, Zecca M, Noto V D, et al. *ChemCatChem*, **2010**, **2**:1143-1149
- [15] Liu Y, Jia C J, Yamasaki J, et al. *Angew. Chem. Int. Ed.*, **2010**, **49**:5771-5775
- [16] Wang G H, Li W C, Jia K M, et al. *Appl. Catal. A*, **2009**, **364**:42-47
- [17] Shodiya T, Schmidt O, Peng W, et al. *J. Catal.*, **2013**, **300**:63-69
- [18] Zhao J B, Liu H, Ye S, et al. *Nanoscale*, **2013**, **5**:9546-5553
- [19] Zanella R, Giorgio S, Henry C R, et al. *J. Phys. Chem. B*, **2002**, **106**:7634-7642
- [20] Peng Q, Zhang Y, Shi F, et al. *Chem. Commun.*, **2011**, **47**:6476-6478
- [21] Neri G, Visco A M, Galvagno S, et al. *Thermochim. Acta*, **1999**, **329**:39-46
- [22] Hutchings G J, Hall M S, Carley A F, et al. *J. Catal.*, **2006**, **242**:71-81
- [23] Quero S G, Lizana F C, Keane M A. *J. Catal.*, **2013**, **303**:41-49
- [24] Carabineiro S A C, Bogdanchikova N, Tavares P B, et al. *RSC Advances*, **2012**, **2**:2957-2965
- [25] Khoudiakov M, Gupta M C, Deevi S. *Appl. Catal. A*, **2005**, **291**:151-161
- [26] Solsona B E, Garcia T, Jones C, et al. *Appl. Catal. A*, **2006**, **312**:67-76
- [27] Milone C, Crisafulli C, Ingoglia R, et al. *Catal. Today*, **2007**, **122**:341-351
- [28] Ilieva L I, Andreeva D H, Andreev A A. *Thermochim. Acta*, **1997**, **292**:169-174
- [29] Albonetti S, Bonelli R, Delaigle R, et al. *Appl. Catal. A*, **2010**, **372**:138-146
- [30] Park E D, Lee J S. *J. Catal.*, **1999**, **186**:1-11
- [31] Wang L, Meng X, Wang B, et al. *Chem. Commun.*, **2010**, **46**:5003-5005
- [32] Wu B, Zhang H, Chen C, et al. *Nano Res.*, **2009**, **2**:975-983
- [33] Bonelli R, Albonetti S, Morandi V, et al. *Appl. Catal. A*, **2011**, **395**:10-18
- [34] Bond G C, Thompson D T. *Catal. Rev. Sci. Eng.*, **1999**, **41**:319-388
- [35] Bi Q Y, Du X L, Liu Y M, et al. *J. Am. Chem. Soc.*, **2012**, **134**:8926-8933
- [36] Schubert M M, Hackenberg S, VanVeen A C, et al. *J. Catal.*, **2001**, **197**:113-122
- [37] Gluhoi A C, Bogdanehikova N, Nieuwenhuys B E. *J. Catal.*, **2005**, **229**:154-162
- [38] Yan T, Redman D W, Yu W Y, et al. *J. Catal.*, **2012**, **294**:216-222
- [39] Kang Y, Ye X, Chen J, et al. *J. Am. Chem. Soc.*, **2013**, **135**:1499-1505
- [40] Cargnello M, Doan-Nguyen V V T, Gordon T R, et al. *Science*, **2013**, **341**:771-773